

III. Hexagonal-trapezoedrische Klasse. 3. Stufe. Erzeugende Symmetrie $6s$ (hexagyrisch sphenoidisch) Fig. 213. Volle Symmetrie Fig. 214. Sieben Gestaltstypen entsprechend Fig. 214 und 200.

- A. Hexagonales Prisma erster Stellung.
 B. Hexagonales Prisma zweiter Stellung.
 C. Pinakoid.

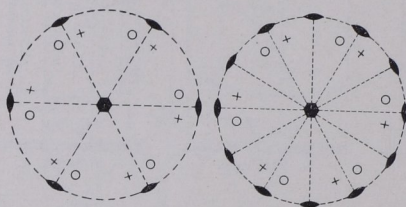


Fig. 213. Erzeugende Symmetrie der hexagonal-trapezoedrischen Klasse ($6s$).

Fig. 214. Allgemeines hexagonal-trapezoedrisches Bauschema.

1. Dihexagonale Prismen.
2. Hexagonale Bipyramiden erster Stellung.
3. Hexagonale Bipyramiden zweiter Stellung.
4. Hexagonale Trapezoeder, rechts und links.

IV. Hexagonal-bipyramidale Klasse.

2. Stufe. Erzeugende Symmetrie $6pi$ (hexagyrisch-pinakoidal) Fig. 215. Volle Symmetrie Fig. 216. Sieben Gestaltstypen entsprechend Fig. 216 und 200.

- A. Hexagonales Prisma erster Stellung.
 B. Hexagonales Prisma zweiter Stellung.
 C. Pinakoid.

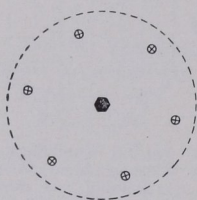


Fig. 215. Erzeugende Symmetrie der hexagonal-bipyramidalen Klasse ($6pi$).

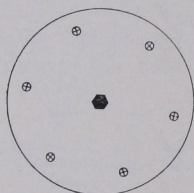


Fig. 216. Allgemeines hexagonal-bipyramidales Bauschema.

1. Hexagonale Prismen dritter Stellung, rechts und links.
2. Hexagonale Bipyramiden erster Stellung.
3. Hexagonale Bipyramiden zweiter Stellung.
4. Hexagonale Bipyramiden dritter Stellung, rechts und links.

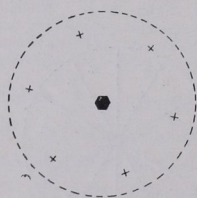


Fig. 217. Erzeugende Symmetrie der hexagonal-pyramidalen Klasse ($6p$).

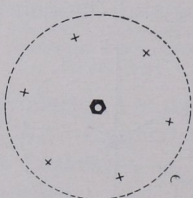


Fig. 218. Allgemeines hexagonal-pyramidales Bauschema.

V. Hexagonal-pyramidale Klasse. 1. Stufe. Erzeugende Symmetrie $6p$ (hexagyrisch-pedial) Fig. 217. Volle Symmetrie Fig. 218. c -Achse heteropolar (Hemimorphismus). Sieben Gestaltstypen entsprechend Fig. 218 und 200.

- A. Hexagonales Prisma erster Stellung.